

Е. В. Громачевская, Е. А. Кайгородова, В. Е. Заводник,
Г. Д. Крапивин

ИССЛЕДОВАНИЕ В ОБЛАСТИ ХИНАЗОЛИНОВ

4*. НЕОБЫЧНОЕ ПРОТЕКАНИЕ АЦИЛИРОВАНИЯ
АЛКИЛ-2-(4,4-ДИФЕНИЛ-1,2,3,4-ТЕТРАГИДРО-
2-ХИНАЗОЛИНИЛИДЕН)АЦЕТАТОВ.

МОЛЕКУЛЯРНАЯ СТРУКТУРА МЕТИЛ-2-(4,4-ДИФЕНИЛ-1,2,3,4-
ТЕТРАГИДРО-2-ХИНАЗОЛИНИЛИДЕН)-3-ОКСОБУТАНОАТА

При изучении реакции производных хиназолинов с хлорангидридами в отсутствие кислот выявлено, что алкил-2-(4,4-дифенил-1,2,3,4-тетрагидро-2-хиназолинилиден)ацетаты подвергаются С-ацилированию; методом РСА исследована молекулярная структура метил-2-(4,4-дифенил-1,2,3,4-тетрагидро-2-хиназолинилиден)-3-оксобутаноата.

Ключевые слова: тетрагидрохиназолинилиденациетаты, ацилирование, масс-спектрометрия, молекулярная структура, прототропная таутомерия.

Ранее нами была описана реакция *o*-аминофенилдифенилкарбинола с нитрилами различного строения и хлорной кислотой [1, 2]. Этиловый эфир циануксусной кислоты в условиях указанной реакции образует этил-2-(4,4-дифенил-1,2,3,4-тетрагидро-2-хиназолинилиден)ацетат (1b), существующий в виде смеси *Z*- и *E*-изомеров [2]. Там же отмечено, что метилирование этого соединения происходит как N- и C-диметилирование с миграцией экзоциклической кратной связи в гетероцикл и образованием соответствующего этил-2-(3-метил-4,4-дифенил-3,4-дигидро-2-хиназолинил)-пропаноата.

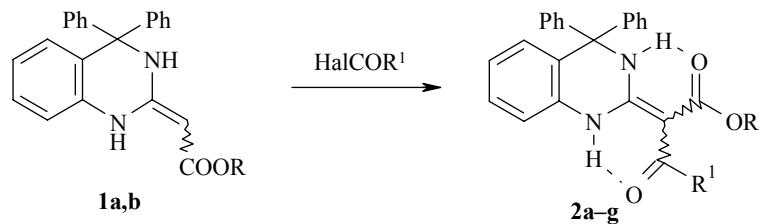
В связи со столь необычным протеканием реакции алкилирования – при наличии двух аминных атомов азота алкилирование происходит только по одному из них, а второе алкилирование происходит по экзоциклической кратной связи в α -положение к карбоксилатной группе – представляло интерес исследовать поведение соединений 1a,b в реакции ацилирования, т. е. в условиях замены "мягкого" электрофила (R^+) на "жесткий" ($RC^+=O$).

Реакцию мы проводили действием двукратного избытка галогенангидрида карбоновой кислоты в сухом бензоле при комнатной температуре [3] (схема 1).

Согласно элементному анализу, ЯМР 1H и масс-спектрам, в результате реакции были получены продуктыmonoацилирования по экзоциклическому атому углерода кратной связи C=C 2a–g (табл. 1, 2 и 6).

* Сообщение 3 см. [1].

Схема 1



1a, 2a R = Me; **1b, 2b–g** R = Et; **2a,b** R¹ = Me, **c** R¹ = Ph, **d** R¹ = CH₂Cl, **e** R¹ = 4-O₂NC₆H₄,
f R¹ = 4-MeOC₆H₄, **g** R¹ = n-C₄H₉

В спектрах ЯМР ¹Н соединений **2a–g** (табл. 2), записанных в различных растворителях, наблюдаются существенные различия в количестве и положении сигналов NH-протонов. Так, в растворах CDCl₃ имеются четыре слабопольных сигнала NH-протонов, каждый интенсивностью близкой к 0.5Н, что свидетельствует о присутствии в растворе двух геометрических Z- и E-изомеров в соотношении, близком к 1:1. В спектрах, записанных в (CD₃)₂CO или ДМСО-d₆, имеются только два уширенных синглета сигналов NH-протонов интенсивностью 1Н каждый. Такое изменение характера спектров при переходе от менее к более полярному растворителю можно объяснить существованием динамического равновесия между изомерными формами в результате прототропной таутомерии **C** ⇌ **A** ⇌ **B**.

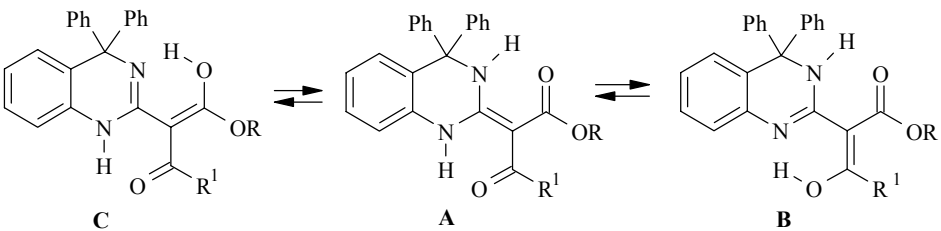
Таблица 1
Характеристики синтезированных соединений **2a–g**

Соединение	Брутто-формула	Найдено, %			Т. пл., °C	<i>R_f</i> *	ИК спектр, ν, см ⁻¹ (NH, C=O, COOR)	Выход, %
		Вычислено, %	C	H				
2a	C ₂₅ H ₂₂ N ₂ O ₃	<u>75.28</u> 75.36	<u>5.72</u> 5.56	<u>6.88</u> 7.03	160–162	0.30	3140, 1625, 1590	50
2b	C ₂₆ H ₂₄ N ₂ O ₃	<u>75.38</u> 75.71	<u>5.45</u> 5.86	<u>6.52</u> 6.79	146–148	0.21	3160, 1650, 1620	57
2c	C ₃₁ H ₂₆ N ₂ O ₃	<u>78.50</u> 78.46	<u>5.35</u> 5.52	<u>5.72</u> 5.90	158–160	0.81	3130, 1610, 1590	65
2d	C ₂₆ H ₂₃ ClN ₂ O ₃	<u>69.70</u> 69.87	<u>5.32</u> 5.19	<u>6.42</u> 6.27	150–152	0.75	3140, 1610, 1580	60
2e**	C ₃₁ H ₂₅ N ₃ O ₅	<u>71.42</u> 71.67	<u>4.53</u> 4.85	<u>8.15</u> 8.09	193–195	0.70	3120, 1610, 1590	62
2f	C ₃₂ H ₂₈ N ₂ O ₄	<u>76.35</u> 76.17	<u>5.71</u> 5.59	<u>5.43</u> 5.55	173–174	0.65	3150, 1600, 1580	52
2g	C ₂₉ H ₃₀ N ₂ O ₃	<u>76.85</u> 76.63	<u>6.90</u> 6.65	<u>6.02</u> 6.16	118–120	0.80	3120, 1680, 1590	55

* Silufol UV-254, бензол–эфир, 4:1.

** ИК спектр, ν, см⁻¹: 1510, 1320 (NO₂).

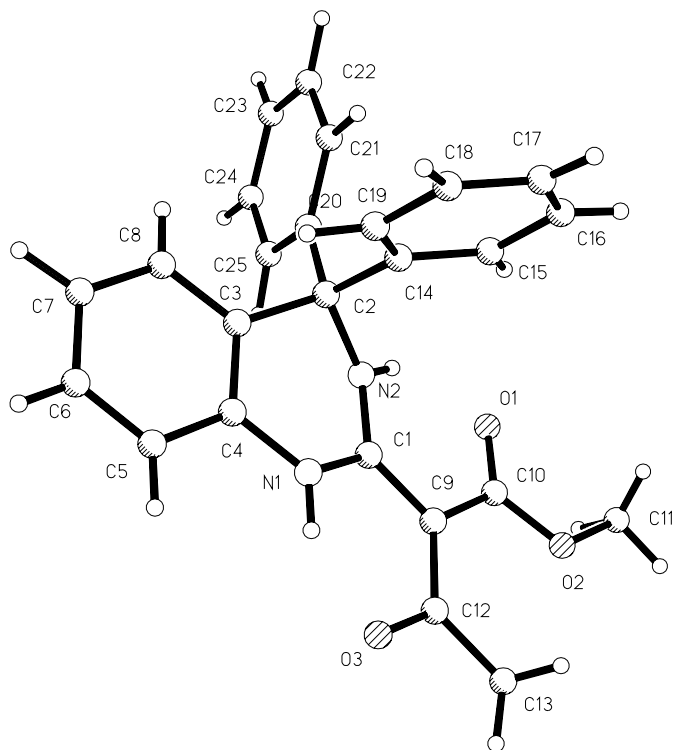
Схема 2



Прототропная таутомерия (схема 2) обеспечивает возможность вращения относительно эндоциклической кратной связи, что и приводит к динамической *Z*-*E*-изомеризации [4, 5]. Подобное явление изомеризации в растворе наблюдали для 2-этоксикарбонил(ацетил)метилен-4-пиримидинонов в работе [6].

Таблица 2
Спектры ЯМР ^1H соединений 2a–g

Соединение	Растворитель	Химический сдвиг, δ , м. д.	KCCB, J , Гц
2a	CDCl_3	2.45 (3H, с, CH_3CO); 3.80 (3H, с, CH_3OCO); 6.85 (1H, д, H-8); 7.18 (13H, м, $\text{H}_{\text{аром}}$); 10.90, 12.00, 13.10, 14.05 (2H, четыре с, 2NH)	$^3J_{7,8} = 8.0$
	$(\text{CD}_3)_2\text{CO}$	2.30 (3H, с, CH_3CO); 3.75 (3H, с, CH_3OCO); 7.05 (4H, м, C_6H_4); 7.40 (10H, м, $2\text{C}_6\text{H}_5$); 12.20, 12.85 (2H, два уш. с, 2NH)	—
2b	CDCl_3	1.42 (3H, т, CH_3); 2.50 (3H, с, CH_3CO); 4.25 (2H, кв, CH_2); 6.75 (1H, д, H-8); 7.20 (13H, м, $\text{H}_{\text{аром}}$); 10.95, 12.00, 13.10, 14.00 (2H, два уш. с, 2NH)	$^3J_{7,8} = 8.0$, $^3J_{\text{CH}_2\text{CH}_3} = 7.5$
	$(\text{CD}_3)_2\text{CO}$	1.20 (3H, т, CH_3), 2.25 (3H, с, CH_3CO); 4.15 (2H, кв, CH_2); 6.90 (4H, м, C_6H_4); 7.22 (10H, м, два C_6H_5); 11.95, 12.80 (2H, четыре с, 2NH)	$^3J_{\text{CH}_2\text{CH}_3} = 7.0$
2c	CDCl_3	0.65 (3H, т, CH_3), 3.80 (2H, кв, CH_2); 6.77 (1H, д, H-8); 7.30 (18H, м, $\text{H}_{\text{аром}}$); 10.55, 11.53, 12.15, 13.20 (2H, четыре с, 2NH)	$^3J_{\text{CH}_2\text{CH}_3} = 6.4$, $^3J_{7,8} = 7.2$
2d	CDCl_3	1.40 (3H, т, CH_3), 4.30 (2H, кв, CH_2); 4.72 (2H, с, CH_2Cl); 6.75 (1H, д, H-8); 7.20 (13H, м, $\text{H}_{\text{аром}}$); 10.95, 12.00, 12.65, 13.60 (2H, четыре с, 2NH)	$^3J_{\text{CH}_2\text{CH}_3} = 7.0$
2e	DMCO-d_6	0.57 (3H, т, CH_3); 3.78 (2H, кв, CH_2); 6.77 (1H, д, H-8); 7.20 (1H, т, H-6); 7.30 (11H, м, два $\text{C}_6\text{H}_5^{++}$ H-7); 7.35 (1H, д, H-5); 7.60 (2H, д, H_B); 8.25 (2H, д, H_A); 11.55, 12.10 (2H, два с, 2NH)	$^3J_{\text{CH}_2\text{CH}_3} = 7.0$, $^3J_{7,8} = 7.2$, $^3J_{5,6} = 7.5$, $^3J_{AB} = 9.0$
2f	DMCO-d_6	0.68 (3H, т, CH_3); 3.78 (3H, с, OCH_3); 3.82 (2H, кв, CH_2); 6.72 (1H, д, H-8); 6.92 (2H, д, 2 H_B); 7.10 (2H, д, 2 H_A); 7.18 (1H, т, H-6); 7.25 (11H, м, два C_6H_5^{+} H-7); 7.30 (1H, д, H-5); 11.40, 11.90 (2H, два уш. с, 2NH)	$^3J_{\text{CH}_2\text{CH}_3} = 6.5$, $^3J_{7,8} = 7.7$, $^3J_{5,6} = 7.6$, $^3J_{AB} = 8.0$
2g	DMCO-d_6	0.90 (3H, т, CH_3); 1.30 (5H, м, $\gamma\text{-CH}_2 + \text{CH}_3$); 1.51 (2H, т, $\beta\text{-CH}_2$); 2.75 (2H, т, $\alpha\text{-CH}_2$); 4.20 (2H, кв, CH_2); 6.70 (1H, д, H-8); 7.15 (1H, т, H-6); 7.25 (1H, д, H-5); 7.30 (11H, м, два C_6H_5^{+} H-7); 12.10, 12.55 (2H, два уш. с, 2NH)	$^3J_{\text{CH}_2\text{CH}_3} = 6.8$, $^3J_{7,8} = 7.5$, $^3J_{5,6} = 7.7$, $^3J_{\text{CH}_2\text{CH}_3} = 6.0$



Проекция пространственной модели молекулы
метил 2-(4,4-дифенил-1,2,3,4-тетрагидро-2-хиназолинилиден)-3-оксобутаноата (**2а**)

Оказалось, что при кристаллизации из раствора в твердую фазу переходит только один изомер. Методом РСА показано, что для соединения **2а** таковым является *Z*-изомер (рисунок, табл. 3–5).

Как видно из рисунка, в молекуле **2а** имеются две внутримолекулярные водородные связи H(1)...O(3) и H(2)...O(1). Параметры водородной связи N(1)–H(1)...O(3): межатомные расстояния H(1)...O(3) и N(1)...O(3), соответственно, 1.759 и 2.530 Å, валентные углы N(1)–H(1)...O(3) и H(1)...O(3)–C(12), соответственно, 140.3 и 103.3°.

Аналогичные параметры второй водородной связи N(2)–H(2)...O(1): межатомные расстояния H(2)...O(1) и N(2)...O(1), соответственно, 1.960 и 2.591 Å, валентные углы N(2)–H(2)...O(1) и H(2)...O(1)–C(10), соответственно, 139.9 и 98.9°.

Сопряжение между аминными атомами азота и карбонильными группами проявляется в значительных искажениях межатомных расстояний в системе формально двойных и ординарных связей, соединяющих эти атомы. Так, формально двойные связи C(1)–C(9) и C(12)–O(3) сильно удлиняются: связь C(1)–C(9) до 1.437(2), связь C(12)–O(3) до 1.245(2) Å (в сопряженной системе C=C–C=O стандартная длина связи C=C 1.36 ± 0.01, связи C=O 1.215 ± 0.005 Å [7]). В результате сопряжения уменьшаются межатомные расстояния N(1)–C(1) и N(2)–C(1) до 1.340(2) и 1.334(2) Å, стандартная длина связи N–C (sp^2) 1.43 ± 0.01 Å [7]. Обращает на себя

Т а б л и ц а 3
Основные длины связи (*d*) в молекуле соединения 2а

Связь	<i>d</i> , Å	Связь	<i>d</i> , Å
O(1)–C(10)	1.224(2)	C(2)–C(14)	1.544(3)
O(2)–C(10)	1.333(2)	C(3)–C(8)	1.381(3)
O(2)–C(11)	1.448(3)	C(3)–C(4)	1.385(3)
O(3)–C(12)	1.245(2)	C(4)–C(5)	1.382(3)
N(1)–C(1)	1.340(2)	C(5)–C(6)	1.373(3)
N(1)–C(4)	1.407(3)	C(6)–C(7)	1.374(4)
N(2)–C(1)	1.334(2)	C(7)–C(8)	1.385(3)
N(2)–C(2)	1.464(2)	C(9)–C(12)	1.443(3)
C(1)–C(9)	1.437(3)	C(9)–C(10)	1.447(3)
C(2)–C(3)	1.513(3)	C(12)–C(13)	1.500(3)
C(2)–C(20)	1.530(3)		

Т а б л и ц а 4
Основные валентные (ϕ) углы в молекуле соединения 2а

Угол	ϕ , град	Угол	ϕ , град
C(10)–O(2)–C(11)	116.1(2)	C(12)–C(9)–C(10)	124.4(2)
C(1)–N(1)–C(4)	122.20(19)	O(1)–C(10)–O(2)	119.2(2)
C(1)–N(2)–C(2)	122.98(18)	O(1)–C(10)–C(9)	125.5(2)
N(2)–C(1)–N(1)	115.58(19)	O(2)–C(10)–C(9)	115.3(2)
N(2)–C(1)–C(9)	123.59(19)	O(3)–C(12)–C(9)	121.9(2)
N(1)–C(1)–C(9)	120.83(19)	O(3)–C(12)–C(13)	115.1(2)
N(2)–C(2)–C(3)	105.82(16)	C(9)–C(12)–C(13)	123.0(2)
N(2)–C(2)–C(20)	108.30(16)	C(19)–C(14)–C(15)	118.6(2)
C(3)–C(2)–C(20)	111.43(17)	C(19)–C(14)–C(2)	122.4(2)
N(2)–C(2)–C(14)	109.02(16)	C(15)–C(14)–C(2)	119.0(2)
C(3)–C(2)–C(14)	110.88(16)	C(14)–C(15)–C(16)	120.1(3)
C(20)–C(2)–C(14)	111.19(16)	C(17)–C(16)–C(15)	120.2(3)
C(8)–C(3)–C(4)	118.4(2)	C(18)–C(17)–C(16)	120.4(3)
C(8)–C(3)–C(2)	123.9(2)	C(17)–C(18)–C(19)	120.2(3)
C(4)–C(3)–C(2)	117.58(19)	C(14)–C(19)–C(18)	120.6(3)
C(5)–C(4)–C(3)	121.1(2)	C(25)–C(20)–C(21)	118.3(2)
C(5)–C(4)–N(1)	120.0(2)	C(25)–C(20)–C(2)	119.6(2)
C(3)–C(4)–N(1)	118.89(18)	C(21)–C(20)–C(2)	122.0(2)
C(6)–C(5)–C(4)	119.0(2)	C(22)–C(21)–C(20)	120.5(2)
C(5)–C(6)–C(7)	121.3(3)	C(23)–C(22)–C(21)	120.7(3)
C(6)–C(7)–C(8)	118.8(3)	C(22)–C(23)–C(24)	119.7(3)
C(3)–C(8)–C(7)	121.3(2)	C(23)–C(24)–C(25)	120.1(3)
C(1)–C(9)–C(12)	119.18(19)	C(20)–C(25)–C(24)	120.5(2)
C(1)–C(9)–C(10)	116.34(19)		

Таблица 5

Диэдralьные (θ) углы в молекуле соединения 2а

Угол	θ , град	Угол	θ , град
N(1)–C(4)–C(3)–C(2)	5.8 (2)	N(2)–C(1)–C(9)–C(10)	5.4 (2)
C(4)–C(3)–C(2)–N(2)	33.8 (2)	N(1)–C(1)–C(9)–C(12)	1.6 (2)
C(3)–C(2)–N(2)–C(1)	47.3 (2)	C(1)–C(9)–C(10)–O(1)	12.9 (2)
C(2)–N(2)–C(1)–N(1)	27.3 (2)	C(1)–C(9)–C(12)–O(3)	1.8 (2)
N(2)–C(1)–N(1)–C(4)	9.0 (2)	C(1)–C(9)–C(12)–C(13)	166.2 (2)
C(1)–N(1)–C(4)–C(3)	19.0 (2)	C(9)–C(10)–O(2)–C(11)	177.5 (2)

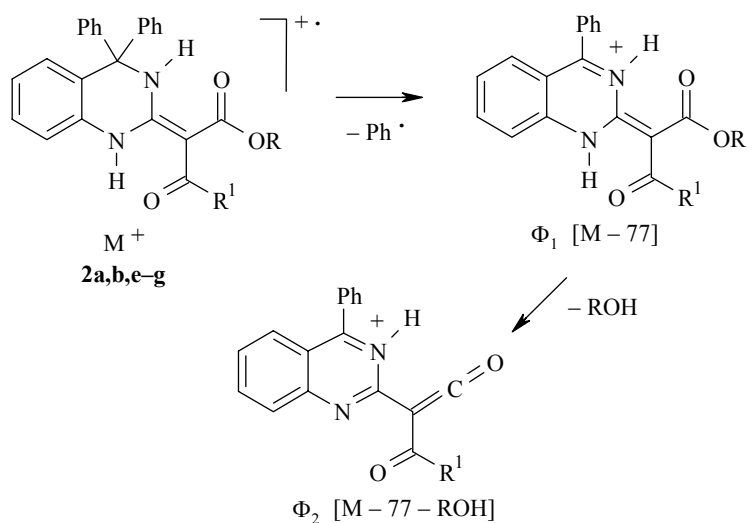
внимание и разница в межатомных расстояниях N(1)–C(4) и N(1)–C(1): заметно меньшая длина связи N(1)–C(1) свидетельствует о смещении неподеленной электронной пары атома N(1) в сторону сопряженной системы C=C–C=O.

Собственно сопряженная система, β,β -диамино- α,α -дикарбонильная группировка, практически плоская – диэдralьные углы N(1)–C(1)–C(9)–C(12) и N(2)–C(1)–C(9)–C(10), соответственно, 1.6 и 5.4° (см. табл. 5) – и стабилизирована двумя водородными связями, описанными выше. Образование такой системы сопряжения, возможно, является движущей силой реакции ацилирования по кратной связи.

Шестичленный гетероциклический фрагмент молекулы имеет конформацию искаженной *твист-ванны*: проведенный согласно [8] расчет параметров складчатости цикла C(1)–N(1)–C(4)–C(3)–C(2)–N(2) дает следующие значения: $S = 0.449$; $\theta = 59.03^\circ$; $\psi = 18.97$. Атомы N(1) и C(2) выходят на 0.145 и 0.494 Å, соответственно, из плоскости остальных четырех атомов "дна ванны" (среднее отклонение от плоскости не превышает 0.05 Å). Двугранные углы между плоскостью "дна ванны" и "стенками ванны" C(1)–N(1)–C(4) и N(2)–C(2)–C(3), соответственно, 4.9 и 33.7°.

Пространственное расположение трех фенильных заместителей у sp^3 -гибридизованного атома C(2) весьма напоминает конформацию обычного трифенилметана – искаженный *пропеллер*: фенильные кольца C(3)...C(8), C(14)...C(19) и C(20)...C(25) повернуты в одну и ту же сторону относительно соответствующих плоскостей N(2)–C(2)–C(i) ($i = 3, 14$ или 20) на 32.2, 46.6 и 43.1°.

Характерной особенностью масс-спектров электронного удара синтезированных соединений 2а–б, е–г является последовательное отщепление от молекулярного иона фенильного радикала и молекулы соответствующего спирта (схема 3). Дальнейший распад катиона Φ_2 определяется характером заместителя R¹. В спектрах всех исследованных соединений имеется также достаточно интенсивный (12–79%) пик соответствующего ацилкатаиона R¹–C⁺=O.



Т а б л и ц а 6
Масс-спектры электронного удара соединений 2a,b,e–g

Соединение	m/z (I , %) от максимального				
	M^+	Φ_1^+	Φ_2^+	$\text{R}^1-\text{C}^+=\text{O}$	Другие характеристические ионы
2a	398 (12)	321 (5)	289 (100)	43 (50)	247 (28) [Φ_2-42], 205 (5) [$\Phi_2-42-42$], 77 (45)
2b	412 (38)	335 (15)	289 (100)	43 (20)	247 (26) [Φ_2-42], 205 (5) [$\Phi_2-42-42$], 77 (30)
2e	519 (24)	442 (5)	396 (100)	150 (23)	104 (44) [$\text{C}_7\text{H}_4\text{O}$], 77 (30)
2f	504 (43)	427 (5)	381 (100)	135 (79)	92 (7), 77 (20)
2g	454 (60)	377 (6)	331 (61)	85 (12)	412 (15) [$\text{M}-42$], 370 (100) [$\text{M}-42-42$], 289 (30) [Φ_2-42], 247 (99) [$\Phi_2-42-42$], 77 (27)

ЭКСПЕРИМЕНТАЛЬНАЯ ЧАСТЬ

ИК спектры записаны на приборе Specord IR-75 при комнатной температуре в вазелиновом масле. Спектры ЯМР ^1H сняты на приборах Tesla BS-467 (60 МГц) и Bruker DRX 500 (500 МГц), внутренний стандарт TMC. Масс-спектры получены на приборе Varian CH-6 с прямым вводом вещества в ионный источник при энергии ионизации электронов 70 эВ. ТСХ осуществлялась на пластинах Silufol UV-254, проявитель пары иода.

Рентгеноструктурное исследование соединения 2a. Бесцветные кристаллы соединения

2a состава $C_{25}H_{22}N_2O_3 \cdot 0.5C_2H_5OH$, полученные многократной кристаллизацией из этанола, триклинные, при 18°C : $a = 8.915(2)$, $b = 11.299(2)$, $c = 12.549(3)$ Å, $\alpha = 69.40(3)$, $\beta = 73.81(3)$, $\gamma = 68.81(3)^\circ$, $V = 1086.5(4)$ Å³, $d_{\text{выч}} = 1.287$ г/см³. Пространственная группа $P-1$, $Z = 2$. РСА выполнен на автоматическом дифрактометре CAD 4 (графитовый монохроматор, MoKa-излучение, $\theta/2\theta$ -сканирование от 1.76 до $\theta_{\text{max}} = 25^\circ$). Размер кристалла $0.23 \times 0.21 \times 0.12$ мм. Получено 3812 отражений с $I > 3\sigma(I)$. Структура расшифрована прямым методом по комплексу программ SHELXTL [9] и уточнена в анизотропном (изотропном для атомов водорода) приближении до достижения факторов расходимости $R^1 = 0.0315$ и $wR^2 = 0.0728$. Координаты атомов депонированы в Кембриджском банке структурных данных (депонент № CCDC 620810).

Метил-2-(4,4-дифенил-1,2,3,4-тетрагидро-2-хиназолинилиден)ацетат (1a) получают согласно методике [2]. Т. пл. $179\text{--}181^\circ\text{C}$ (из этанола). ИК спектр, ν , см⁻¹: 3280 (NH), 1615 (C=C), 1660 (COOCH₃). Спектр ЯМР ¹H (ДМСО-d₆), δ, м. д.: 3.50 (3Н, с, CH₃); 4.20, 4.38, 9.47, 9.75 (четыре с интенсивностью 0.5Н каждый, 2NH); 6.60 (1Н, м, H-8); 6.85 и 6.90 (1Н, два с интенсивностью 0.5Н каждый, =CH-); 7.20 (13Н, м, H_{аром}). Найдено, %: C 77.25; H 5.41; N 7.52. C₂₃H₂₀N₂O₂. M⁺ 356. Вычислено, %: C 77.53; H 5.62; N 7.86. M 356.50.

Этил-2-(4,4-дифенил-1,2,3,4-тетрагидро-2-хиназолинилиден)-3-оксобутаноат (2b). К раствору 0.65 г (1.7 ммоль) этианата **1b** и 0.42 г (3.4 ммоль) бромистого ацетила в 7 мл сухого бензола при перемешивании добавляют 0.5 г Na₂CO₃. Смесь интенсивно перемешивают 2.5 ч при комнатной температуре. По окончании реакции (контроль – ТСХ) неорганические соли отфильтровывают, промывают бензолом, фильтрат упаривают. Полученный продукт очищают хроматографированием на колонке (сорбент – силикагель марки L 40/100, элюент бензол). Выход 0.40 г (57%).

Соединение 2a получают аналогично из метилацетата **1a**.

Соединения 2c–g получают согласно приведенной выше методике, используя в качестве ацилирующих агентов хлорангидриды соответствующих кислот.

СПИСОК ЛИТЕРАТУРЫ

- Е. В. Громачевская, Е. А. Кайгородова, С. И. Фирганг, Г. Д. Крапивин, *XTC*, 1222 (2005). [*Chem. Heterocycl. Comp.*, **41**, 1045 (2005)].
- Е. В. Громачевская, Г. Д. Крапивин, Ф. В. Квитковский, А. О. Шеин, В. Г. Кульневич, *XTC*, 640 (2001). [*Chem. Heterocycl. Comp.*, **37**, 588 (2001)].
- Вейганд-Хильгетаг, *Методы эксперимента в органической химии*, Химия, Москва, 1968, с. 432.
- Н. П. Костюченко, В. Г. Граник, А. М. Жидкова, Р. Г. Глушков, Ю. Н. Шейнкер, *XTC*, 1212 (1974). [*Chem. Heterocycl. Comp.*, **10**, 1053 (1974)].
- Н. З. Тугушева, С. Ю. Рябова, Н. П. Соловьева, В. Г. Граник, *XTC*, 781 (1994). [*Chem. Heterocycl. Comp.*, **30**, 683 (1994)].
- В. Л. Гейн, С. Г. Питиримова, О. В. Винокурова, Ю. С. Андрейчиков, А. В. Комков, В. С. Богданов, В. А. Дорохов, *Изв. АН, Сер. хим.*, 1475 (1994).
- А. Гордон, Р. Форд, *Спутник химика*, Мир, Москва, 1976.
- Н. С. Зефиров, В. А. Палюлин, *ДАН*, **252**, 111 (1980).
- G. M. Sheldrick, *Computational Crystallography*, Oxford Univ. Press, New York, Oxford, 1982, 506.

Кубанский государственный
технологический университет,
Краснодар 350072, Россия
e-mail: organics@kubstu.ru

Поступило 17.10.2005